

В. В. Орлов

## КОЛЕБАНИЯ ВРАЩАЮЩЕЙСЯ ЖИДКОСТИ, ВЫТЕКАЮЩЕЙ ИЗ ОТКРЫТОГО СОСУДА

*Рассмотрена задача о собственных движениях вращающейся жидкости, частично заполняющей цилиндрический бак при наличии истечения через жесткое дно. Задача решена в квазистационарной постановке в рамках модели идеальной жидкости с учетом гидравлических потерь при протекании жидкости через дно сосуда. Исследован спектр собственных чисел и выявлены характеристики волновых движений жидкости, приведены результаты расчетов волновых чисел и комплексного коэффициента затухания.*

**Постановка задачи.** Пусть идеальная несжимаемая жидкость заполняет цилиндрический сосуд радиуса  $R_0$  на глубину  $H$  и вращается вместе с ним вокруг оси  $OX_3$  с постоянной угловой скоростью  $\omega_0$  и вытекает через поверхность слива  $\Sigma$  со скоростью  $V_\Sigma$ . Введем следующие обозначения:  $\Omega$  — область, занимаемая жидкостью,  $S$  — твердая боковая стенка,  $\Gamma_0$  — невозмущенная свободная поверхность. Введем подвижную систему координат  $OX_1X_2X_3$  с осями, связанными с невозмущенной свободной поверхностью, т.е. вращающимися с угловой скоростью  $\omega_0$ , и перемещающуюся вместе с ней со скоростью  $V_0$ .

Рассмотрим задачу о малых движениях жидкости, близких к установившемуся движению. Будем считать, что за характерное время исследуемых движений жидкости область, занимаемая жидкостью, не успевает существенно измениться. Тогда для определения поля  $v = v(x, t)$  скоростей частиц жидкости относительно установившегося движения имеем следующую задачу, записанную в подвижной системе отсчета:

$$\frac{\partial \vec{v}}{\partial t} - 2\omega_0(\vec{v} \times \vec{k}) = -\nabla p, \quad (1)$$

$$\nabla \cdot \vec{v} = 0 \quad \text{в } Q, \quad (2)$$

$$\vec{v} \cdot \vec{n} = 0 \quad \text{на } S, \quad (3)$$

$$\frac{\partial p}{\partial t} + \nabla p_0 \cdot \vec{v} = 0 \quad \text{на } \Gamma_0, \quad (4)$$

$$p = \gamma \vec{v} \cdot \vec{n}_\Sigma \quad \text{на } \Sigma, \quad (5)$$

$$\vec{v}(x, 0) = \vec{v}^0(x). \quad (6)$$

Здесь  $n_\Sigma$  — нормаль к поверхности  $\Sigma$ ;  $p$  — модифицированное давление  $p = \frac{p'}{\rho}$ ,  $p'$  — отклонение давления от равновесного значения;  $\gamma = \xi(V_\Sigma - V_0)$ ,  $\xi$  — коэффициент сопротивления поверхности слива. Условие на поверхности слива получается на основе линеаризации уравнения для перепада давления на поверхности слива и используется при расчете динамических характеристик ракет на жидком топливе [1].

Исключая переменную  $\vec{v}$ , уравнения (1)–(6), записанные в подвижной системе отсчета, приведем к краевой задаче, записанной в цилиндрической системе координат  $(x, r, \eta, t)$ , для одной переменной —  $p(x, r, \eta, t)$ .

*Формулировка краевой задачи.* Получим соотношение для возмущенного давления  $p$ , исключив из уравнения (4) вектор скорости  $\vec{v}$ . Для этого умножим обе части уравнения (1) скалярно на  $\nabla p_0$  и после несложных преобразований получим условие на свободной поверхности, которое может быть использовано для сосудов произвольной формы, вращающихся вокруг оси  $OX_3$  с произвольной угловой скоростью  $\omega_0$ .

Тогда уравнения (1)–(6) могут быть записаны относительно переменной  $p(x, r, \eta, t)$ :

$$\frac{\partial^2}{\partial t^2} \left( \frac{\partial^2 p}{\partial r^2} + \frac{1}{r} \frac{\partial p}{\partial r} + \frac{1}{r^2} \frac{\partial^2 p}{\partial \eta^2} + \frac{\partial^2 p}{\partial x^2} \right) + 4\omega_0^2 \frac{\partial^2 p}{\partial x^2} = 0 \quad \text{в } Q, \quad (7)$$

$$\frac{1}{|\nabla p_0|} \frac{\partial^4 p}{\partial t^4} - \frac{\partial^2}{\partial t^2} \left[ \frac{\nabla p \cdot \nabla p_0}{|\nabla p_0|} \right] - \frac{1}{|\nabla p_0|} 4\omega_0^2 \left[ -\frac{\partial^2 p}{\partial t^2} + \frac{\partial p}{\partial x_3} \frac{\partial p_0}{\partial x_3} \right] =$$

$$= -2\omega_0 \frac{1}{|\nabla p_0|} \frac{\partial}{\partial t} \left( \frac{\partial p}{\partial x_1} \frac{\partial p_0}{\partial x_2} - \frac{\partial p}{\partial x_2} \frac{\partial p_0}{\partial x_1} \right) \quad \text{на } \Gamma_0, \quad (8)$$

$$\frac{\partial^2}{\partial t^2} \frac{\partial p}{\partial r} + 2\omega_0 \frac{1}{r} \frac{\partial^2 p}{\partial t \partial \eta} = 0 \quad \text{на } S, \quad (9)$$

$$\frac{\partial p}{\partial x} - \frac{1}{\gamma} \frac{\partial p}{\partial t} = 0 \quad \text{на } \Sigma, \quad (10)$$

$$p(\vec{x}, 0) = p^0, \quad \frac{\partial p(\vec{x}, 0)}{\partial t} = p_1^0, \quad \frac{\partial^2 p(\vec{x}, 0)}{\partial t^2} = p_2^0,$$

$$\frac{\partial^3 p(\vec{x}, 0)}{\partial t^3} = p_3^0, \quad \vec{x} = (x, r, \eta). \quad (11)$$

При значении коэффициента сопротивления  $\gamma = \infty$  (отсутствие слива) задача (7)–(11) представляет собой задачу о движениях вращающейся жидкости, частично заполняющей круговую цилиндрическую емкость [2]–[7].

**Медленное вращение.** Пусть скорость вращения такова, что свободная поверхность остается почти плоской. Тогда выражение для не-

возмущенного давления,  $p_0$  вместо  $p_0 = \frac{1}{2}\omega_0^2 r^2 - gx_3 + C$ , можно использовать  $p_0 = -gx_3 + C$  и соответственно  $|\nabla p_0| = g$ . Учитывая это допущение, соотношение (8) можно представить в виде

$$\frac{\partial^2}{\partial t^2} \left[ \frac{\partial^2 p}{\partial t^2} + g \frac{\partial p}{\partial x_3} \right] + 4\omega_0^2 \left[ \frac{\partial^2 p}{\partial t^2} + g \frac{\partial p}{\partial x_3} \right] = 0.$$

Рассмотрим задачу о собственных движениях жидкости. Будем искать решение в виде бегущих волн  $p(r, \eta, x, t) = P(r, x)e^{(im\eta - \Omega t)}$ ,  $m = 0, \pm 1, \pm 2, \dots$ . Тогда, вместо системы (7)–(11), для каждого заданного числа  $m$  получим спектральную задачу:

$$\Omega^2 \left( \frac{\partial^2 P}{\partial r^2} + \frac{1}{r} \frac{\partial P}{\partial r} - \frac{m^2}{r^2} P + \frac{\partial^2 P}{\partial x^2} \right) + 4\omega_0^2 \frac{\partial^2 P}{\partial x^2} = 0 \quad \text{в } Q, \quad (12)$$

$$(\Omega^2 + 4\omega_0^2) \left( \Omega^2 P + g \frac{\partial P}{\partial x} \right) = 0 \quad \text{на } \Gamma_0, \quad (13)$$

$$\Omega^2 \frac{\partial P}{\partial r} - 2\omega_0 \Omega i \frac{m}{r} P = 0 \quad \text{на } S, \quad (14)$$

$$\frac{\partial P}{\partial x} + \Omega \frac{1}{\gamma} P = 0 \quad \text{на } \Sigma, \quad (15)$$

$$m = 0, \pm 1, \pm 2, \dots$$

При отсутствии свободной поверхности (условие (8) заменяется на условие  $\frac{\partial p}{\partial x_3} = 0$  на  $\Gamma_0$ ) получаем задачу, приведенную в работах [9, 10]. Здесь  $\Omega$  — комплексный коэффициент затухания волновых движений жидкости. Если положить  $Im\Omega > 0$ , то число  $m < 0$  будет соответствовать прямым волнам, бегущим в сторону вращения жидкости, число  $m > 0$  — обратным волнам, а число  $m = 0$  — случаю стоячих волн.

В дальнейшем нас не будут интересовать решения, при которых  $\Omega = 2\omega_0 i$ . Поэтому граничное условие (13) можно переписать в виде  $\Omega^2 P + g \frac{\partial P}{\partial x} = 0$ .

*Вывод характеристических уравнений задачи.* Пусть  $R_0$  — характерный размер. Введем безразмерные параметры  $\zeta, \xi, \lambda, \bar{\gamma}, \varepsilon$  при помощи соотношений

$$\zeta = \mu R_0; \quad \xi = k R_0; \quad \lambda = \Omega \sqrt{\frac{R_0}{g}}; \quad \bar{\gamma} = \frac{\gamma}{\sqrt{g R_0}}; \quad \varepsilon = 2\omega_0 \sqrt{\frac{R_0}{g}},$$

где безразмерные параметры  $\zeta$  и  $\xi$  характеризуют движения жидкости соответственно в осевом и радиальном направлениях и связаны с соб-

ственным числом  $\lambda$  спектральной задачи (12)–(15) формулой

$$\lambda^2 = \frac{\varepsilon^2 \zeta^2}{\xi^2 - \zeta^2}. \quad (16)$$

Используя метод разделения переменных, будем искать решение задачи (12)–(15) в виде

$$P(x, r) = X(x)R(r).$$

Разделяя переменные, получим две задачи для определения функций  $X(x)$  и  $R(r)$ :

$$\left\{ \begin{array}{l} -X'' = -\zeta^2 X, \\ X' + \lambda^2 X = 0 \quad (\bar{x} = 0), \\ X' = -\frac{1}{\bar{\gamma}} \frac{\zeta}{\sqrt{\xi^2 - \zeta^2}} X \quad \left( \bar{x} = -\bar{H} = -\frac{H}{R_0} \right), \end{array} \right. \quad (17)$$

$$\left\{ \begin{array}{l} -\left( R'' + \frac{1}{\bar{r}} R' - \frac{m^2}{\bar{r}^2} R \right) = \xi^2 R, \\ i \frac{\zeta}{\sqrt{\xi^2 - \zeta^2}} R' = m R \quad \bar{r} = 1, \end{array} \right. \quad (18)$$

где символ ' означает производную от функции по соответствующей безразмерной координате. Отметим, что используя формулу (16), задачи (17), (18) всегда можно переписать в другом виде для определения любых двух параметров из трех неизвестных —  $\zeta$ ,  $\xi$ ,  $\lambda$ .

Решением уравнения (17) будет являться следующая функция:  $X(x) = C_1 \cosh \zeta \frac{x}{R_0} + C_2 \sinh \zeta \frac{x}{R_0}$ .

Решением уравнения (18) с учетом его ограниченности в нуле является функция  $R(r) = J_m \left( \xi \frac{r}{R_0} \right)$ .

Подставив указанные функции в граничные условия задач (17) и (18) на поверхности слива  $\Sigma$  и на боковой поверхности  $S$ , получим трансцендентные уравнения для определения безразмерных волновых чисел  $\zeta$ ,  $\xi$  и собственного числа  $\lambda$ :

$$\bar{\gamma} - \frac{1}{\lambda} + \left( -\frac{\lambda}{\zeta} + \frac{\zeta}{\lambda^2 \bar{\gamma}} \right) \tanh \zeta \frac{H}{R_0} = 0; \quad (19)$$

$$\frac{J_{m-1}(\xi)}{J_m(\xi)} = \frac{m}{\xi} \left( 1 + i \frac{\varepsilon}{\lambda} \right); \quad (20)$$

$$\lambda^2 = \frac{\varepsilon^2 \zeta^2}{\xi^2 - \zeta^2}. \quad (21)$$

*Исследование трансцендентных уравнений.* В уравнениях (19)–(21) целые функции  $\tanh \zeta \bar{H}$ ,  $f_1(\xi) = J_{m-1}(\xi)/J_m(\xi)$  являются трансцендентными мероморфными функциями комплексных переменных  $\xi$  и  $\zeta$ . Следовательно, можно предположить, что уравнения (19)–(21) будут иметь комплексные решения  $\zeta = \zeta^{(r)} + i\zeta^{(i)}$ ,  $\xi = \xi^{(r)} + i\xi^{(i)}$  и  $\lambda = \lambda^{(r)} + i\lambda^{(i)}$ .

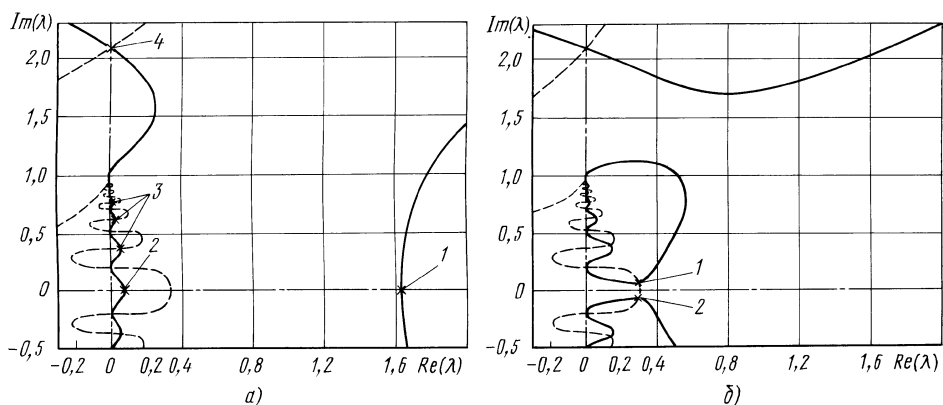
Получение аналитических выражений для собственных чисел  $\zeta$ ,  $\xi$ ,  $\lambda$  — корней системы трансцендентных уравнений (19)–(21) — представляет определенные трудности, поэтому воспользуемся подходом, описанным в работе [10] для решения нелинейных уравнений. Сначала запишем уравнения (19)–(21) в виде системы двух уравнений, выразив  $\zeta$  через  $\lambda$  и  $\xi$ :

$$\bar{\gamma} - \frac{1}{\lambda} + \left( -\frac{\sqrt{\varepsilon^2 + \lambda^2}}{\xi} + \bar{\gamma} \frac{\xi}{\lambda \sqrt{\varepsilon^2 + \lambda^2}} \right) \tanh \frac{\xi \lambda}{\sqrt{\varepsilon^2 + \lambda^2}} \frac{H}{R_0} = 0, \quad (22)$$

$$\frac{J_{m-1}(\xi)}{J_m(\xi)} = \frac{m}{\xi} \left( 1 + i \frac{\varepsilon}{\lambda} \right). \quad (23)$$

При численном решении, чтобы найти каждую пару корней, необходимо задать их первые приближения.

В случае  $m = 0$  решение системы сводится к решению первого уравнения с использованием корней  $\xi$ , полученных из решения второго уравнения системы, сводящегося к уравнению  $J_1(\xi) = 0$ , которое, как известно из работы [8], имеет счетное множество действительных корней  $\xi_n$ ,  $n = 1 \dots \infty$ . Для одного оставшегося неизвестного  $\lambda$  первое приближение можно получить из графического решения аналогично тому, как это было описано в работе [10]. Для этого приведем уравнения (22) и (23) к одному уравнению относительно  $\lambda$  и построим диаграммы



**Рис. 1.** Графическое решение уравнений (22) и (23) в плоскости комплексного переменного  $\lambda$ :  $m = 0$ ,  $\bar{H} = 2$ ,  $\xi_1 = 3,83$ ,  $\varepsilon = 1$ ,  $\gamma = 0,5$  (а) и  $\gamma = 0,275$  (б)

равенства нулю его действительной (сплошная линия) и мнимой (штриховая кривая) части (рис. 1, *a*). Пересечение линий дает корень  $\lambda$ . Рассмотрим подробно графическое решение, построенное для уравнения (22) при  $\xi_1 = 3,83$  (см. рис. 1, *a*). Следует отметить, что каждому числу  $\xi_n$  соответствует бесконечное количество корней  $\lambda$  и, соответственно,  $\zeta$ . Можно выделить четыре группы корней, различающихся по их расположению на комплексной плоскости. Введем дополнительный индекс  $l$  и условимся, что  $l = -1$  будет соответствовать большему по величине действительным корням  $\lambda$  (точка 1, см. рис. 1, *a*). Действительным корням, располагающимся вблизи точки  $O$ , присвоим индекс  $l = -2$  (точка 2, см. рис. 1), индекс 0 будет соответствовать корню с модулем  $|\lambda| > \varepsilon$ , лежащему вблизи мнимой оси (точка 4, см. рис. 1, *a*). Группе корней 3, лежащей вблизи мнимой оси с модулем  $0 < |\lambda| < \varepsilon$  присвоим индексы  $l = 1 \dots \infty$ . Тогда решение системы (12)–(15) можно записать в виде

$$P = \sum_{l=-2}^{\infty} P_{0nl}.$$

Простым корням  $\lambda$  уравнений (22) и (23) соответствуют различные формы колебаний, для их идентификации воспользуемся выражением для вертикальной составляющей скорости малых возмущений жидкости, полученным из системы (12)–(15), при этом компонент скорости зависит от времени по закону  $v = V e^{im\eta - \Omega t}$ , т.е.

$$V = -\frac{1}{\lambda} \frac{\partial P}{\partial x}. \quad (24)$$

С учетом равенства (24) выражение для  $V_{0nl}$  можно записать в виде

$$V_{0nl} = -\frac{1}{R_0} \frac{\zeta_{nl}}{\lambda_{nl}} J_0 \left( \xi_n \frac{r}{R_0} \right) \left[ \cos \zeta_{nl}^{(i)} \frac{x}{R_0} \left( \cosh \zeta_{nl}^{(r)} \frac{x}{R_0} + \sinh \zeta_{nl}^{(r)} \frac{x}{R_0} \right) + i \sin \zeta_{nl}^{(i)} \frac{x}{R_0} \left( \tanh \zeta_{nl}^{(r)} \frac{x}{R_0} + \coth \zeta_{nl}^{(r)} \frac{x}{R_0} \right) \right] e^{-\lambda_{nl} t}.$$

Действительным корням уравнений (22) и (23) отвечают волновые аperiодические движения жидкости. Амплитуда этих движений больше на поверхности слива. Мы назовем их волнами слива. Такие же решения были получены и для полностью заполненного сосуда [10].

Наличие свободной поверхности, по сравнению с полностью заполненным сосудом, приводит к появлению еще одной группы волновых движений — волн на свободной поверхности жидкости, для которых  $|\lambda| > \varepsilon$ . На рис. 1 им соответствует точка 4. Наличие слива переводит

волновые движения на свободной поверхности из колебаний с постоянной амплитудой в колебания с малым декрементом затухания (действительная часть корня — точка 4).

Группе корней 3, располагающейся вблизи отрезка  $[0, \varepsilon i]$  (см. рис. 1, а, точки 3) соответствуют волновые движения, амплитуда которых принимает максимальные значения в глубине жидкости. Это внутренние волны. Решения, соответствующие внутренним волнам, образуют двухиндексное множество для каждого фиксированного числа  $m$ . В данном случае из-за наличия слива внутренние волны — это затухающие колебания с малым декрементом затухания.

Графическое решение, построенное для того же значения  $\xi = 3,83$ , но при  $\gamma = 0,275$  (см. рис. 1, б) показывает, что может существовать такая комбинация параметров задачи, при которой не существует ни одного действительного решения и, соответственно, чисто аperiodические движения невозможны. Вместо действительных корней (точки 1 и 2 на рис. 1, а) появляются пары комплексно-сопряженных чисел, отвечающих быстро затухающим волновым движениям (точки 1 и 2, см. рис. 1, б).

*Асимптотика больших индексов. Волны слива.* Асимптотическое поведение волн слива и внутренних волн при больших индексах получим, если воспользуемся асимптотическими выражениями для функций Бесселя:

$$\begin{aligned}
 J_m(\xi r_0) &\asymp \sqrt{\frac{2}{\pi r_0 \xi}} \left( \cos \left( \xi r_0 - \frac{\pi}{4} - \frac{m\pi}{2} \right) - \right. \\
 &\quad \left. - \frac{1}{8} \frac{4m^2 - 1}{\xi r_0} \sin \left( \xi r_0 - \frac{\pi}{4} - \frac{m\pi}{2} \right) \right); \quad (25) \\
 Y_m(\xi r_0) &\asymp \sqrt{\frac{2}{\pi r_0 \xi}} \left( \sin \left( \xi r_0 - \frac{\pi}{4} - \frac{m\pi}{2} \right) + \right. \\
 &\quad \left. + \frac{1}{8} \frac{4m^2 - 1}{\xi r_0} \cos \left( \xi r_0 - \frac{\pi}{4} - \frac{m\pi}{2} \right) \right).
 \end{aligned}$$

Подстановка этих разложений в условие на боковой поверхности приводит к следующему асимптотическому уравнению для чисел  $\xi$  и  $\lambda$ :

$$\tan \left( \xi - m \frac{\pi}{2} - \frac{\pi}{4} \right) = \frac{4m^2 \lambda + 3\lambda + 8i\varepsilon m \xi}{-8\lambda \xi + 4i\varepsilon m^3 - i\varepsilon m}. \quad (26)$$

Граничное условие на свободной поверхности при больших значениях  $\zeta$  запишется в виде

$$\bar{\gamma} - \frac{1}{\lambda} - \frac{\lambda}{\zeta} + \bar{\gamma} \frac{\zeta}{\lambda^2} = 0,$$

откуда находим  $\zeta = \frac{\lambda}{\bar{\gamma}}$  и получаем выражение для  $\lambda$ :

$$\lambda = \sqrt{\xi^2 \bar{\gamma}^2 - \varepsilon^2}.$$

Решая с учетом этого выражения уравнение (26), получим окончательно

$$\xi_{mq} = \xi_q - \frac{1}{8} \frac{3\bar{\gamma} + 8i\varepsilon m + 4m^2 \bar{\gamma}}{\xi_q \bar{\gamma}},$$

$$\lambda_{mq} = \sqrt{\xi_{mq}^2 \bar{\gamma}^2 - \varepsilon^2}.$$

где  $\xi_q = (q-1)\pi + \frac{1}{2}m\pi + \frac{1}{4}\pi$ ,  $q \rightarrow \infty$ .

**Волны на свободной поверхности.** Для получения приближенного решения для поверхностных волн воспользуемся приближением малости вращения  $\varepsilon \rightarrow 0$ :

$$\xi = \xi_0 + \varepsilon \xi_1.$$

Выражение для  $\xi_1$  может быть получено в следующем виде:

$$\xi_1 = im \frac{J_m(\xi_0)}{\lambda(\xi_0) \xi_0 \left( \frac{m}{\xi_0^2} J_m(\xi_0) + J'_{m-1}(\xi_0) \right)}. \quad (27)$$

Для нахождения  $\lambda$  воспользуемся выражением, полученным из граничного условия на свободной поверхности:

$$1 - \frac{\beta}{\lambda} - \left( \beta \frac{\lambda}{\zeta} - \frac{\zeta}{\lambda^2} \right) \tanh(\zeta \bar{H}) = 0; \quad (28)$$

здесь  $\beta = 1/\bar{\gamma}$ . Учитывая малость слива ( $\beta \rightarrow 0$ ), будем искать  $\lambda$  как

$$\lambda = \lambda_0 + \beta \lambda_1.$$

Подставляя это выражение в уравнение (28) и группируя слагаемые по параметру  $\beta$ , получим уравнение для нахождения  $\lambda_1$ :

$$-\zeta + 2\zeta \lambda_1 - \tanh(\zeta \bar{H}) \lambda_0^2 = 0.$$

Учитывая, что  $\lambda_0 = \sqrt{-\xi_0 \tanh(\xi_0 \bar{H})}$ , а  $\zeta = \xi_0$ , выражение для  $\lambda$  запишется в виде

$$\lambda = \sqrt{-\xi_0 \tanh(\xi_0 \bar{H})} + \frac{1}{2} \beta (1 - \tanh(\xi_0 \bar{H}))^2.$$



После подстановки выражения для  $\lambda$  и разложения (25) в (27) и преобразований, учитывающих малость слива и приближение больших индексов, можно записать выражение для поправки  $\xi_1$ :

$$\xi_1 = -\frac{m\sqrt{\xi_q}}{-m + \xi_q^2},$$

и соответственно,

$$\xi_{mq} = \xi_q - \varepsilon \frac{m\sqrt{\xi_q}}{-m + \xi_q^2}.$$

**Быстрое вращение.** Рассмотрим случай быстрого вращения, который реализуется, когда величина центробежного ускорения значительно больше ускорения сил тяжести ( $\omega_0^2 r_0 \gg g$ ) или в случае вращения с любой угловой скоростью в условиях невесомости. Сделаем допущение, что при этом свободная поверхность жидкости принимает форму цилиндра радиуса  $r_0$ , коаксиально расположенного по отношению к боковой поверхности, между плоскостями  $x = 0$  и  $x = -H$ .

В случае быстрого вращения граничное условие на свободной поверхности (8) можно записать в виде

$$\frac{1}{|\nabla p_0|} \frac{\partial^4 p}{\partial t^4} - \frac{\partial^2}{\partial t^2} \frac{\partial p}{\partial r} - \frac{1}{|\nabla p_0|} 4\omega_0^2 \left( -\frac{\partial^2 p}{\partial t^2} \right) = 2\omega_0 \frac{1}{|\nabla p_0|} \frac{\partial}{\partial t} \left( \frac{1}{r} \frac{\partial p}{\partial \eta} \right).$$

Повторяя рассуждения, приведенные в предыдущем разделе, получим характеристическую систему трансцендентных уравнений для определения волновых чисел  $\xi$ ,  $\zeta$  и собственного числа  $\lambda$ :

$$D_m(\xi) - \frac{4(\lambda^2 + 1)}{r_0} E_m(\xi) = 0; \quad (29)$$

$$\lambda = \bar{\gamma} \zeta \tanh(\zeta \bar{H}); \quad (30)$$

$$\lambda^2 = \frac{\zeta^2}{\xi^2 - \zeta^2}, \quad (31)$$

где

$$D_m(\xi) = D_m[J, 1] D_m[Y, r_0] - D_m[Y, 1] D_m[J, r_0];$$

$$E_m(\xi) = D_m[J, 1] Y_m(\xi r_0) - D_m[Y, 1] J_m(\xi r_0);$$

$$D_m[J, r_0] = -m \left( 1 + \frac{i}{\lambda} \right) \frac{1}{r_0} J(\xi r_0) + \xi J_{m-1}(\xi r_0);$$

$$D_m[Y, r_0] = -m \left( 1 + \frac{i}{\lambda} \right) \frac{1}{r_0} Y(\xi r_0) + \xi Y_{m-1}(\xi r_0).$$

Для изучения поверхностных волн и получения приближенных асимптотических решений, удобнее воспользоваться предыдущей системой несколько другого вида. Перейдем от функций Бесселя  $J$  и  $Y$  к модифицированным функциям Бесселя  $I$  и  $K$ . Пусть  $\alpha = i\xi$ .

Окончательно система примет вид для случая  $m = 0$

$$F_0(\alpha) + \frac{4\alpha^2}{r_0(\mu_l^2 - \alpha^2)}G_0(\alpha) = 0, \quad (32)$$

где

$$F_0(\alpha) = \alpha[K_1(\alpha)I_1(r_0\alpha) - K_1(r_0\alpha)I_1(\alpha)];$$

$$G_0(\alpha) = K_0(r_0\alpha)I_1(\alpha) + K_1(\alpha)I_0(r_0\alpha).$$

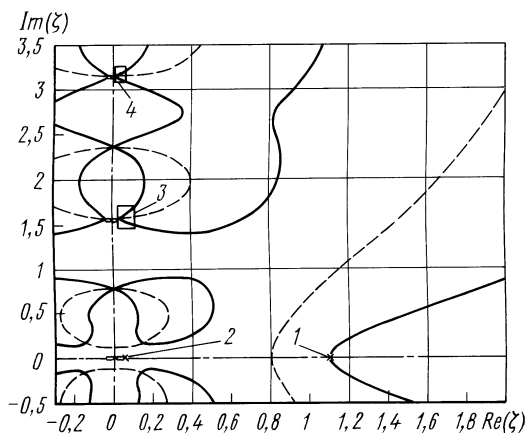
Случай стоячих волн,  $m = 0$ . Исключая  $\lambda$  из уравнений (29)–(31), получим систему трансцендентных уравнений относительно неизвестных  $\xi$  и  $\zeta$ :

$$\xi[J_1(\xi)Y_1(\xi r_0) - Y_1(\xi)J_1(\xi r_0)] -$$

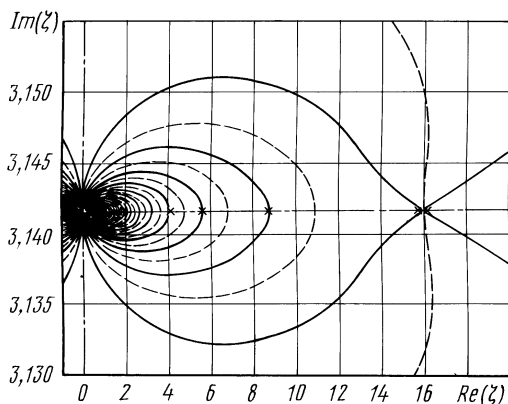
$$- \frac{4\xi^2}{r_0(\xi^2 - \zeta^2)}[Y_1(\xi)J_0(\xi r_0) - J_1(\xi)Y_0(\xi r_0)] = 0; \quad (33)$$

$$\tanh(\zeta \bar{H}) = \frac{\beta}{\sqrt{\xi^2 - \zeta^2}}, \quad \beta = \frac{1}{\bar{\gamma}}. \quad (34)$$

Эту систему можно представить в виде одного комплексного уравнения относительно комплексной переменной  $\zeta$ , выразив  $\xi$  через  $\zeta$  из второго уравнения  $\left( \xi = \sqrt{\zeta^2 + \frac{\beta^2}{\tanh^2 \zeta \bar{H}}} \right)$ . Графическое решение этой системы уравнений позволяет выделить несколько групп корней в зависимости от их расположения на комплексной плоскости (рис. 2). Можно



**Рис. 2.** Графическое решение уравнений (33) и (34) в плоскости комплексного переменного  $\zeta$ :  $m = 0$ ,  $\bar{H} = 2$ ,  $r_0 = 0,1$ ;  $\beta = 0,1$



**Рис. 3.** Графическое решение уравнений (33) и (34) для внутренних волн и волн на свободной поверхности:  $m = 0, \bar{H} = 2, r_0 = 0,1, \beta = 0,1$

отметить, что качественно это решение сходно с решением для коаксиального цилиндра, за исключением дополнительной группы корней, отвечающей поверхностным волнам. При данном соотношении исходных параметров существуют две группы действительных решений — стремящихся к бесконечности и к 0 (точки 1 и 2, см. рис. 2). Внутренние и поверхностные волны характеризуются комплексными числами, группирующимися вдоль мнимой оси  $\zeta$  (области 3 и 4, см. рис. 2, и корни, отмеченные знаком “\*”, на рис. 3), с точкой накопления  $i \frac{l\pi}{H}$ . Численные значения решений приведены в табл. 1–4 (при  $m = 0; \bar{H} = 2; \beta = 0,1$ ).

Таблица 1

Таблица 2

**Волны слива ( $\text{Re}(\zeta) \rightarrow \infty$ ).  
Результаты вычисления  $\zeta, \xi$  и  $\lambda$**

**Волны слива ( $\text{Re}(\zeta) \rightarrow 0$ ).  
Результаты вычисления  $\zeta, \xi$  и  $\lambda$**

$n$		$R_0 = 0,1$	$R_0 = 0,3$	$R_0 = 0,5$
1	$\zeta$	1,09723	1,74562	2,71861
	$\xi$	1,10201	1,74849	2,72044
	$\lambda$	10,7032	17,4238	27,1850
2	$\zeta$	4,97777	6,56750	9,29099
	$\xi$	4,97877	6,56827	9,29153
	$\lambda$	49,7777	65,6750	92,9099
3	$\zeta$	8,55366	11,1199	15,6278
	$\xi$	8,55424	11,1204	15,6282
	$\lambda$	85,5366	111,199	156,278

$n$		$R_0 = 0,1$	$R_0 = 0,3$
1	$\zeta$	0,0487210	0,0329412
	$\xi$	1,03065	1,520410
	$\lambda$	0,0473251	0,0216711
2	$\zeta$	0,0103548	0,00834263
	$\xi$	4,82940	5,99388
	$\lambda$	0,00214412	0,00139186
3	$\zeta$	0,00600572	0,00487969
	$\xi$	8,32581	10,24691
	$\lambda$	0,000721338	0,000476212

Внутренние волны. Результаты вычисления  $\zeta$ ,  $\xi$  и  $\lambda$ 

$n$	$R_0 = 0, 1$	$R_0 = 0, 3$	$R_0 = 0, 5$	
1	$\zeta$	$0,0279198 + 1,57113i$	$0,0245503 + 1,57097i$	$0,0204681 + 1,57086i$
	$\xi$	$0,863014 + 0,00659767i$	$1,29873 + 0,00763185i$	$1,87263 + 0,00709264i$
	$\lambda$	$0,00516172 + 0,876588i$	$0,00672802 + 0,770817i$	$0,00634404 + 0,642719i$
2	$\zeta$	$0,00987228 + 1,57080i$	$0,00810693 + 1,57080i$	$0,00628810 + 1,57080i$
	$\xi$	$4,81564 + 0,0001715985i$	$5,96474 + 0,000297711i$	$7,79526 + 0,000251168i$
	$\lambda$	$0,00177154 + 0,310109i$	$0,00124098 + 0,254665i$	$0,000766023 + 0,197536i$
3	$\zeta$	$0,00590634 + 1,57080i$	$0,00482942 + 1,57080i$	$0,00364465 + 1,57080i$
	$\xi$	$8,31887 + 0,0000519953i$	$10,2337 + 0,0000805366i$	$13,6288 + 0,0000466642i$
	$\lambda$	$0,000674767 + 0,185545i$	$0,000456881 + 0,151716i$	$0,000262569 + 0,114498i$

Таблица 4

Волны на свободной поверхности.  
Результаты вычисления  $\zeta$ ,  $\xi$  и  $\lambda$ 

$n$	$R_0 = 0, 1$	
2	$\zeta$	$0,0161210 + 3,14167i$
	$\xi$	$0,0140764 + 0,494303i$
	$\lambda$	$0,000600129 + 1,01261i$

Случай бегущих волн,  $m \neq 0$ . Для дальнейшего решения удобно привести систему (29)–(31) к одному уравнению относительно комплексного переменного  $\zeta$ :

$$D_m \left( \sqrt{\zeta \left( \frac{1}{(\bar{\gamma}\zeta \tanh(\zeta\bar{H}))^2} + 1 \right)} \right) - \frac{4((\bar{\gamma}\zeta \tanh(\zeta\bar{H}))^2 + 1)}{r_0} E_m \left( \sqrt{\zeta \left( \frac{1}{(\bar{\gamma}\zeta \tanh(\zeta\bar{H}))^2} + 1 \right)} \right) = 0. \quad (35)$$

Здесь, как и в случае с закрытым крышкой сосудом, можно отметить существование двух групп бегущих волн — совпадающих с направлением вращения жидкости и противоположных ему, т.е. прямых и

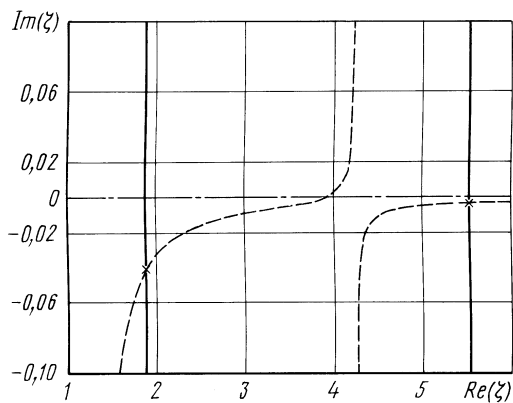


Рис. 4. Графическое решение уравнения (57) для волн слива:  $m = 1$ ,  $\bar{H} = 2$ ,  $\beta = 0,1$

обратных волн. В случае бегущих волн действительные решения, отвечающие волнам на поверхности слива, становятся комплексными. Это хорошо видно на рис. 4 и из табл. 5–7 (при  $m = 1$ ;  $\bar{H} = 2$ ;  $\beta = 0,1$ ).

Таблица 5

**Волны слива ( $\text{Re}(\zeta) \rightarrow \infty$ ). Результаты вычисления  $\zeta$ ,  $\xi$  и  $\lambda$**

$n$	$R_0 = 0,1$	$R_0 = 0,3$	$R_0 = 0,5$	
1	$\zeta$	$1,87826 - 0,0411437i$	$2,19093 - 0,0352369i$	$2,97048 - 0,0252734i$
	$\xi$	$1,88093 - 0,0410845i$	$2,19321 - 0,0352000i$	$2,97216 - 0,0252591i$
	$\lambda$	$18,7624 - 0,414350i$	$21,9025 - 0,353222i$	$29,7043 - 0,252772i$
2	$\zeta$	$5,53129 - 0,00360453i$	$6,78825 - 0,00309701i$	$9,393623 - 0,00227862i$
	$\xi$	$5,53219 - 0,00360394i$	$6,78899 - 0,00309667i$	$9,39416 - 0,00227849i$
	$\lambda$	$55,3129 - 0,0360453i$	$67,8825 - 0,0309701i$	$93,9362 - 0,0227862i$
3	$\zeta$	$8,97410 - 0,00136230i$	$11,2614 - 0,00112431i$	$15,6907 - 0,000813715i$
	$\xi$	$8,97465 - 0,00136222i$	$11,2619 - 0,00112427i$	$15,6910 - 0,000813699i$
	$\lambda$	$89,7410 - 0,0136230i$	$112,614 - 0,0112431i$	$156,907 - 0,00813715i$

**Асимптотика больших индексов. Поверхностные волны.** Получим здесь асимптотические формулы для определения волновых чисел и частот поверхностных волн и волн слива соответственно при  $l \rightarrow \infty$  и  $n \rightarrow \infty$ . Используя асимптотические разложения [11] для  $I_m(z)$  и  $K_m(z)$ , имеем

$$K_m(z) = \sqrt{\frac{\pi}{2z}} e^{-z} \left\{ 1 + \frac{4m^2 - 1^2}{1! 8z} + \dots \right\}; \quad (36)$$

$$I_m(z) = \frac{1}{\sqrt{2\pi z}} e^z \left\{ 1 - \frac{4m^2 - 1^2}{1! 8z} + \dots \right\}. \quad (37)$$

Внутренние волны. Результаты вычисления  $\zeta$ ,  $\xi$  и  $\lambda$ 

$n$		$R_0 = 0, 1$	$R_0 = 0, 3$	$R_0 = 0, 5$
1	$\zeta$	0,00976087 + 1,57081 <i>i</i>	0,00842577 + 1,57080 <i>i</i>	0,006514116 + 1,57080 <i>i</i>
	$\xi$	4,87639 - 0,00247590 <i>i</i>	5,72309 - 0,00224120 <i>i</i>	7,51363 - 0,00180837 <i>i</i>
	$\lambda$	0,00158510 + 0,306612 <i>i</i>	0,00122389 + 0,264680 <i>i</i>	0,000765900 + 0,204636 <i>i</i>
2	$\zeta$	0,00592207 + 1,57080 <i>i</i>	0,00489403 + 1,57080 <i>i</i>	0,00364647 + 1,57080 <i>i</i>
	$\xi$	8,29599 - 0,00157110 <i>i</i>	10,0954 - 0,00120547 <i>i</i>	13,6219 - 0,000752314 <i>i</i>
	$\lambda$	0,000643097 + 0,186039 <i>i</i>	0,000449768 + 0,153746 <i>i</i>	0,000256196 + 0,114555 <i>i</i>
3	$\zeta$	0,00422871 + 1,57080 <i>i</i>	0,00342540 + 1,57080 <i>i</i>	0,00251605 + 1,57080 <i>i</i>
	$\xi$	11,7194 - 0,00111749 <i>i</i>	14,5123 - 0,000751635 <i>i</i>	19,8104 - 0,000386185 <i>i</i>
	$\lambda$	0,000338876 + 0,132846 <i>i</i>	0,000226437 + 0,107610 <i>i</i>	0,000124287 + 0,0790434 <i>i</i>

Таблица 7

Волны на свободной поверхности. Результаты вычисления  $\zeta$ ,  $\xi$  и  $\lambda$ 

$n$		$R_0 = 0, 1$	$R_0 = 0, 3$
1	$\zeta$	0,0382638 + 1,57172 <i>i</i>	0,0363305 + 1,57156 <i>i</i>
	$\xi$	0,0217781 + 0,870696 <i>i</i>	0,0231992 + 0,755479 <i>i</i>
	$\lambda$	0,000354586 + 1,20116 <i>i</i>	0,00260097 + 1,140456 <i>i</i>
	$\chi$	-0,832527 - 0,000245764 <i>i</i>	-0,876838 - 0,00199975 <i>i</i>
2	$\zeta$	0,0192853 + 3,14171 <i>i</i>	0,0193741 + 3,14170 <i>i</i>
	$\xi$	0,0111619 + 1,77266 <i>i</i>	0,0129395 + 1,78989 <i>i</i>
	$\lambda$	8,95222e-005 + 1,21122 <i>i</i>	0,000621260 + 1,21678 <i>i</i>
	$\chi$	-0,825615 - 6,10218e-005 <i>i</i>	-0,821837 - 0,000419609 <i>i</i>

Подставим эти выражения в уравнения (29) и (32). Рассмотрим сначала асимптотику поверхностных волн при  $m = 0$ . После алгебраических преобразований получим асимптотическое уравнение

$$x^3 + \frac{A\delta}{8}x^2 - x\left(\frac{B}{8}\delta^2 + 1\right) - \frac{D}{8}\delta = 0, \quad (38)$$

где  $x = \frac{\alpha}{\mu_l}$ ;  $A = 35 - 3r_0$ ;  $B = 4(3r_0 + 1)$ ;  $D = 3(1 - r_0)$ ;  $\delta = \frac{1}{\mu_l}$  — бесконечно малая величина. Используя метод неопределенных коэффициентов, получим

$$x = 1 - 2\delta + 3\delta^2 - \frac{D}{8}\delta^3,$$

откуда асимптотику волнового числа  $\alpha_{ml}$  и асимптотическую формулу

для частоты поверхностных волн можно представить как

$$\alpha_{ml} = \mu_l \left( 1 - \frac{2}{\mu_l} + \frac{3}{\mu_l^2} - \frac{D}{8} \frac{1}{\mu_l^3} \right) + O(\mu_l^{-3}) \quad (l \rightarrow \infty);$$

$$\lambda_{ml} = \frac{1}{2} i \mu_l^{1/2} \left( 1 + \frac{5}{4} \mu_l^{-1} - \frac{3}{2} \mu_l^{-2} + \frac{9}{8} \mu_l^{-3} \right) + O(\mu_l^{-3}) \quad (l \rightarrow \infty).$$

При выводе асимптотических формул в случае  $m \neq 0$  ограничимся главным членом в асимптотических выражениях (36) и (37). Тогда, вместо асимптотического уравнения (38), получим уравнение

$$\begin{aligned} x^3 + \frac{m^2}{L_0} \delta^2 x^3 + \left( m + \frac{m}{L_0} + 4 \right) \delta x^2 + \frac{4m - m^2}{L_0} \delta^2 x - x + \\ + m \frac{L_0 - 1}{L_0} \delta x^2 \sqrt{1 - x^2} - \frac{4m}{L_0} \delta^2 x \sqrt{1 - x^2} + m \frac{1 - L_0}{L_0} \delta \sqrt{1 - x^2} - \\ - m \frac{1 + L_0}{L_0} \delta = 0. \end{aligned}$$

Используя метод неопределенных коэффициентов, находим

$$x = 1 - 2\delta + 2(1 + m)\delta^2 - 2m^2\delta^3.$$

Откуда определяем асимптотические выражения для волнового числа  $\alpha$  и частоты  $\lambda$ :

$$\alpha = \mu_l \left( 1 - \frac{2}{\mu_l} + 2 \frac{1 + m}{\mu_l^2} - \frac{2m^2}{\mu_l^3} \right) + O(\mu_l^{-3});$$

$$\lambda = \frac{1}{2} i \mu_l^{1/2} \left( 1 + \frac{2 + m}{2\mu_l} - \frac{1 + m}{\mu_l^2} - \frac{(1 + m)^2}{2\mu_l^3} \right) + O(\mu_l^{-3}).$$

Полученные асимптотические формулы показывают, что частоты поверхностных прямых волн ( $m < 0$ ) меньше, чем частоты поверхностных обратных волн ( $m > 0$ ).

**Волны слива.** Выражение, описывающее асимптотическое поведение волн слива и внутренних волн, можно получить, если воспользоваться асимптотическими выражениями для функций Бесселя:

$$\begin{aligned} J_m(\xi r_0) \asymp \sqrt{\frac{2}{\pi r_0 \xi}} \left( \cos \left( \xi r_0 - \frac{\pi}{4} - \frac{m\pi}{2} \right) - \right. \\ \left. - \frac{1}{8} \frac{4m^2 - 1}{\xi r_0} \sin \left( \xi r_0 - \frac{\pi}{4} - \frac{m\pi}{2} \right) \right); \end{aligned}$$

$$Y_m(\xi r_0) \asymp \sqrt{\frac{2}{\pi r_0 \xi}} \left( \sin \left( \xi r_0 - \frac{\pi}{4} - \frac{m\pi}{2} \right) + \frac{1}{8} \frac{4m^2 - 1}{\xi r_0} \cos \left( \xi r_0 - \frac{\pi}{4} - \frac{m\pi}{2} \right) \right).$$

Подставляя эти разложения в уравнение (29), получим следующее асимптотическое уравнение для чисел  $\xi$  и  $\zeta$ :

$$\tan(\xi(r_0 - 1)) = \Phi(\xi, \zeta, m, \bar{\gamma}, r_0) + i\bar{\gamma}^{-1}\Psi(\xi, \zeta, m, \bar{\gamma}, r_0), \quad (39)$$

где  $\Phi$  и  $\Psi$  — дробно-рациональные функции волновых чисел  $\xi, \zeta, m$ . В случае отсутствия слива ( $\bar{\gamma} \rightarrow \infty$ ), волновые числа  $\zeta$  оказываются равны  $\zeta = i\frac{\pi l}{H}$ ,  $l = 1, 2, \dots$ , а трансцендентное уравнение (39) имеет только действительные решения, определяющие волновые числа  $\xi$  внутренних волн.

Решение уравнения (39) в комплексной плоскости  $\xi$  представим в виде

$$\xi = \xi_0 + \varepsilon, \quad (40)$$

где  $\xi_0 = \frac{2q - 1}{2} \frac{\pi}{1 - r_0}$ ,  $q = q_0, q_0 + 1, \dots$  — корни уравнения  $\cot(\xi_0(1 - r_0)) = 0$ . Подставив выражение (40) в уравнение (39), определим поправку  $\varepsilon$  и окончательное асимптотическое выражение для  $\xi$ :

$$\xi = \xi_q \left( 1 + \frac{A}{\xi_q^2 C} + i \frac{m}{\xi_q^3 \bar{\gamma} (r_0 - 1)} \right), \quad q \rightarrow \infty,$$

где  $A = 4m^2 \bar{\gamma}^2 (r_0 - 1) + \bar{\gamma}^2 + 2r_0^2 + 3r_0 \bar{\gamma}^2$ ,  $C = 8r_0 \bar{\gamma}^2 (r_0 - 1)$ .

Для случая  $m = 0$  имеем приближенное решение

$$\xi_q = \xi_q^{(0)} - \frac{r_0(1 - r_0)}{4\bar{\gamma}^2 \xi_q^{(0)}}.$$

**Обсуждение результатов решения.** При анализе полученных результатов следует отметить появление решений, не встречающихся в задачах без слива, а также изменение традиционных решений под влиянием наличия слива. Прежде всего, наличие поверхности слива определяет возможность появления на ней волновых движений — волн слива. Причины их появления впервые рассматривались в работе [9]. Волны слива характеризуются волновыми и собственными числами — решениями соответствующих систем уравнений. В общем случае, это аperiodические затухающие волновые движения. Появление в системе поверхности слива также отражается и на существующих в ней колебательных движениях. Внутренние волны и волны на свободной поверхности превращаются в затухающие волновые движения.



*Медленное вращение.* В случае стоячих волн ( $m = 0$ ) получаем действительные решения для волн слива двух групп — с действительными волновыми числами  $\zeta$ , стремящимися к 0 и к  $\infty$ . Это означает наличие на поверхности слива аperiодических решений, быстро затухающих по времени и вглубь жидкости. При этом увеличение слива приводит к увеличению степени затухания. Соотношение между скоростью вращения и степенью сопротивления сливу также может приводить к появлению кратных корней для низших тонов колебаний, а затем и комплексно-сопряженных решений для соответственного тона. Таким же образом уменьшение сопротивления сливу увеличивает затухание внутренних волн и волн на свободной поверхности. В случае бегущих волн ( $m \neq 0$ ) — поверхностных, внутренних и волн слива — получаем две группы решений — прямые и обратные волны, отличающиеся направлением распространения и основными волновыми параметрами. Наличие поверхности слива в этом случае также приводит к появлению на ней волн слива, но уже не являющихся аperiодическими, как в случае осесимметричных колебаний. Волны слива становятся быстрозатухающими колебательными движениями, степень затухания которых зависит от скорости слива. Поверхностные и внутренние волны, как и в случае стоячих волн, являются затухающими колебательными движениями. Степень их затухания также зависит от скорости слива. При этом для всех групп волн при определенной скорости вращения прямые волны могут не существовать.

*Быстрое вращение.* В отличие от медленного вращения свободная поверхность располагается параллельно оси вращения. Здесь, также как и в случае медленного вращения, наличие слива приводит к появлению волновых движений на его поверхности. В случае стоячих волн обе группы поверхностных волн (с  $\zeta$ , стремящимся к 0 и к  $\infty$ ) являются аperiодическими движениями с действительным коэффициентом затухания  $\lambda$ . Бегущие волны — это затухающие колебательные движения с колебательной составляющей, более выраженной для поверхностных и внутренних волн, и затухающей составляющей, более выраженной для волн слива.

*Автор выражает признательность канд. физ.-мат. наук А.Н. Темнову за плодотворные консультации по всем вопросам, обсуждаемым в статье.*

## СПИСОК ЛИТЕРАТУРЫ

1. Колесников К. С. Продольные колебания ракеты с жидкостным ракетным двигателем. — М.: Машиностроение, 1971. — 260 с.
2. Соболев С. Л. О движении симметричного волчка с полостью, наполненной жидкостью // Журн. прикл. мех. и техн. физ. — 1960. — № 3. — С. 20–55.

3. Григорьев Ю. Н. О спектре пучка операторов задачи С.Л. Соболева // Динамика сплошной среды, Новосибирск. – 1974. – № 17. – С. 12–18.
4. Копачевский Н. Д., Радякин Н. К. О малых колебаниях идеальной капиллярной жидкости, вращающейся в осесимметричном сосуде. // Вопросы вычислительной математики и техники. – Киев: Наукова думка, 1976. С. 3–25.
5. Гонткевич В. С. Собственные колебания вращающейся жидкости в сосудах // Гидромеханика. Республ. межвуз. сб. – Киев, 1972. – Вып. 20. – С. 52–58.
6. Рвалов Р. В. Краевая задача о свободных колебаниях вращающейся идеальной жидкости // Известия АН СССР, МЖГ. – 1973. – № 4. – С. 81–88.
7. Копачевский Н. Д. Малые движения и нормальные колебания системы тяжелых вязких жидкостей. – Харьков: Физико-технический институт низких температур, препринт, 1978. Препринт № 33–77. – 60 с.
8. Ватсон Т. И. Теория Бесселевых функций. Ч.1. – М.: И.И.Л., 1949. – 797 с.
9. Орлов В. В., Темнов А. Н. Малые движения жидкости, вытекающей из бака. // Современные методы теории функций и смежные проблемы. – Воронеж: Изд-во ВГУ, 1997.
10. Орлов В. В., Темнов А. Н.: Колебания вращающейся жидкости, вытекающей из закрытого сосуда // ИФЖ, Минск, 2000. – С. 165–173
11. Справочник по специальным функциям / Под ред. М. Абрамовица и И. Стиган. – М.: Наука, 1979.

Статья поступила в редакцию 01.06.2003

Владимир Владимирович Орлов родился в 1967 г., окончил в 1990 г. МГТУ им. Н.Э. Баумана. Автор 2 научных работ в области динамики жидкости.

V.V. Orlov (b. 1967) graduated from the Bauman Moscow State Technical University in 1990. Author of 2 publications in the field of fluid dynamics.

---

УДК 533.6

А. И. Пастухов, Е. К. Галемин,  
В. А. Денисов

## **К РАСЧЕТУ АЭРОГИДРОДИНАМИЧЕСКИХ ХАРАКТЕРИСТИК КРЫЛЬЕВ С КОНЦЕВЫМИ ШАЙБАМИ В НЕСЖИМАЕМОМ ПОТОКЕ**

*Задача расчета аэрогидродинамических характеристик тонких крыльев с концевыми шайбами решена на основе нелинейной теории непрерывной вихревой поверхности. Предлагаемый метод применим для крыльев больших и малых относительных удлинений, он учитывает размеры шайб и положение их по хорде крыла.*

**Состояние вопроса и описание эксперимента.** Вопрос о применении концевых шайб для улучшения аэрогидродинамических характеристик (АГДХ) крыла конечного размаха, вообще говоря, не является новым. Опубликованные исследования относятся в основном